

丁酸钠与 5- 氮杂 -2'- 脱氧胞苷协同诱导 U266 细胞 p16 基因重新表达

杜红玲¹袁立敏¹袁东华¹袁东燕¹袁威豫²北京大学第一医院¹血液内科袁中心实验室袁北京 100034 袁

摘要 目的 探讨脱乙酰化酶抑制剂丁酸钠与去甲基化制剂 5- 氮杂 -2'- 脱氧胞苷联合处理经骨髓瘤细胞系 U266 诱导高甲基化失活的 p16 基因重新表达的可能性及其对细胞生长的影响。方法 用不同浓度药物处理 U266 细胞后测定细胞生长曲线、流式细胞术分析细胞周期、RT-PCR 和 Westernblotting 检测 p16 基因 mRNA 及其蛋白的表达水平。结果 单用 5-Aza-CdR 或 SB 均抑制细胞生长，联合用药对细胞的抑制作用明显增强。单用 5-Aza-CdR 或 SB 对细胞 G₁ 期无影响，而 5-Aza-CdR 联合作用发生显著的 G₁ 期阻滞。单用 0.1 μmol/L 5-Aza-CdR 即可诱导 U266 细胞 p16 基因重新表达，随着 5-Aza-CdR 浓度的增高，p16 表达增加。单用 SB 只能诱导 p16 基因的弱表达，联合用药明显增强 p16 基因表达。结论 脱乙酰化酶抑制剂 SB 与去甲基化制剂 5-Aza-CdR 协同可显著诱导人骨髓瘤细胞 U266 因高甲基化失活的 p16 基因重新表达。

关键词 5-Aza-CdR；SB；U266 细胞；p16 基因；丁酸钠；5- 氮杂 -2'- 脱氧胞苷；基因表达；药物协同作用

中图分类号 Q343 文献标识码 A 文章编号 1000-2588(2002)02-0981-04

Re-expression of p16 gene in the myeloma cell line U266 induced by synergy of sodium butyrate and 5-Aza-2'-deoxycytidine

DU Hong-ling¹, REN Li-min¹, CHEN Hua¹, ZHU YAN¹, QI YU²

¹Department of Hematology, ²Central Laboratory, First Hospital of Peking University, Beijing 100034, China

Abstract: Objective To understand the synergic effect of histone deacetylase inhibitor sodium butyrate (SB) and demethylating agent 5-Aza-2'-deoxycytidine (5-Aza-CdR) on cell growth and to explore the possibility of re-expression of the hypermethylated and silenced p16 gene in the myeloma cell line U266. Methods U266 cells were cultured in RPMI1640 in the presence of varied doses of SB and 5-Aza-CdR, and the growth curve was obtained by trypan-blue exclusion assay and cell count. The cell cycle was analyzed by flow cytometry and the expression level of mRNA and protein of p16 gene were detected by reverse transcriptase-PCR and Western blotting, respectively. Results The cell growth was arrested by treatment with 5-Aza-CdR alone or SB alone. Increased inhibition effect was shown in synergic treatment of SB and 5-Aza-CdR. The G₁ phase of cell cycle was arrested by 5-Aza-CdR combined with SB, which, however, did not occur when SB or 5-Aza-CdR was used alone. 5-Aza-CdR alone induced the expression of p16 gene in a concentration-dependent manner, whereas SB alone only induced its low-level expression. The expression level of both mRNA and protein of p16 gene was increased significantly by synergic application of SB and 5-Aza-CdR. Conclusions Hypermethylated and silenced p16 gene in U266 cell line can be markedly reactivated by synergic treatment with demethylating agent 5-Aza-CdR and histone deacetylase inhibitor SB, and the cell growth can be inhibited and cell cycle arrested at G₁ phase.

Key words: human myeloma cell line U266; p16 gene; sodium butyrate; 5-Aza-2'-deoxycytidine; gene expression; drug synergism

参与细胞周期调控的抑癌基因 p16 因高甲基化失活与多种肿瘤^{1~4}包括多发性骨髓瘤等血液系统肿瘤^{5~7}的发生密切相关^{8~10}。研究发现高甲基化所致基因表达受抑可能受 DNA 甲基化与组蛋白脱乙酰化两种途径的协同作用调控^{11~13}。为了探讨甲基化失表达的抑癌基因能否重新表达并发挥抑制肿瘤细胞生长的功能，本研究采用脱乙酰化酶^{14~16}、5-Aza-CdR 和去甲基化制剂 5- 氮杂 -2'- 脱氧胞苷^{17~19}联合处理骨髓瘤细胞系 U266，观察其诱导 p16 基因重新表达的可能性及其对细胞生长的影响。

tidine, 5-Aza-CdR 联合处理骨髓瘤细胞系 U266，观察其诱导 p16 基因重新表达的可能性及其对细胞生长的影响。

1 材料和方法

1.1 药物和试剂

5-Aza-CdR 和 SB 购自 Sigma 公司，5-Aza-CdR 用含氯化钠的磷酸缓冲液²⁰配制成贮存液，-70 益保存；SB 用 dH₂O 配制成贮存液，-20 益保存。鼠抗人 p16 单抗及碱性磷酸酶标记的羊抗鼠 IgG 均为 SantaCruz 产品。

1.2 细胞培养及实验分组

人骨髓瘤细胞系 U266 按 TCC 产品按常规培养于含 10% 胎牛血清的 RPMI1640 培养液，实验时细

收稿日期 2002-06-06

基金项目 国家自然科学基金 0070324 袁

作者简介 杜红玲 1971 年生，甘肃西峰人，1996 年毕业于湖南医科大学，主治医师，现为北京大学在读博士研究生，袁电话 10-66171122-2874，E-mail: duhongling@yahoo.com

胞处于对数生长期活细胞数达95%~100%遥

实验分为以下4组对照组培养不加药曰5-Aza-CdR组加不同浓度5-Aza-CdR0.1 μ mol/L和1.0 μ mol/L培养3d去药后继续培养4dSB组加1mmol/LSB培养5d去药后继续培养2d联合用药组加5-Aza-CdR培养2d后换用SB培养5d遥

1.3 细胞生长曲线测定

收集对数生长期U266细胞按2.3 \times 10⁵个/ml的浓度接种实验第一天开始虫虫蓝染法每天计数活细胞数绘制生长曲线遥

1.4 细胞周期分析

收集培养细胞生理盐水洗两次调整细胞浓度为1 \times 10⁶个/ml冷乙醇-20℃固定24h加RNaseA至终浓度1mg/ml7℃温育30min加入碘化丙啶至终浓度50 μ g/ml内测定流式细胞仪beckmancoulter进行细胞周期分析遥

1.5 RT-PCR检测p16基因mRNA表达

采用TRIZOL试剂盒产品一步法提取总RNA Oligo(dT)为引物逆转录p16特异引物进行PCR扩增GAPDH为内对照遥

p16引物序列为5'-GCCAACGCACCGAATAGT-3'和5'-CGATGGCCAGCTCCTCAG-3'扩增片段为261bp GAPDH引物序列为5'-ACCATCAGTCCATGCCATCAC-3'和5'-TCCACCACCCGTGTTGCTGTA-3'扩增片段为400bp反应条件4℃变性60s8℃退火60s2℃延伸90s共35个循环结果经激光密度扫描仪 harmaciaLKB Ultroscan测定p16与GAPDH光密度比值相对定量遥以正常表达p16基因的白血病细胞系KG1a为阳性对照遥

1.6 Westernblotting检测p16蛋白表达

收集约1 \times 10⁶个细胞BS洗两次用1%SDS凝胶加样缓冲液裂解细胞00℃水浴10min超声粉碎30s离心去上清Bradford法测蛋白浓度取100 μ g蛋白进行SDS-PAGE电泳转移至硝酸纤维素膜加鼠抗人p16单抗00室温孵育2h碱性磷酸酶标记的羊抗鼠IgG00室温孵育2h显色遥KG1a细胞为阳性对照遥

1.7 统计学处理

全部数据采用SPSS10.0进行统计分析数据以均值 \pm 标准差表示采用方差分析遥

2 结果

2.1 细胞生长抑制作用

细胞生长曲线示单用1 μ mol/L5-Aza-CdR或1mmol/LSB均有抑制U266细胞生长的作用与对照组有显著差异 $P<0.05$ 见图1遥

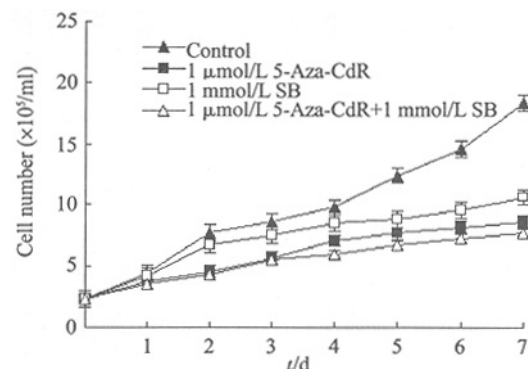


图1 细胞生长曲线

Fig.1 Cell growth curve

0.1 μ mol/L和1.0 μ mol/L的5-Aza-CdR与1.0mmol/LSB联合作用7天后细胞计数分别为 $P<0.05$ 遥

2.2 细胞周期结果

与对照组相比单独使用5-Aza-CdR或SB时G₁期无明显改变联合用药组则有显著的G₁期阻滞 $P<0.05$ 遥

表1 联合使用5-Aza-CdR和SB对U266细胞周期的影响

Tab.1 Effect of combined application of 5-Aza-CdR and SB on U266 cell cycle (% Mean \pm S.D.)

Group	G ₁	S	G ₂
Control	43.05 \pm .21	47.85 \pm .19	9.15 \pm .33
SB+5-Aza-CdR(0.1 μ mol/L)	54.70 \pm .10	36.10 \pm .67	7.30 \pm .09
SB+5-Aza-CdR(0.5 μ mol/L)	59.10 \pm .24	32.15 \pm .91	8.75 \pm .15
SB+5-Aza-CdR(1.0 μ mol/L)	70.25 \pm .91*	26.55 \pm .16	3.20 \pm .11

* $P<0.05$ vs Control

2.3 RT-PCR结果

单用5-Aza-CdR可诱导U266细胞p16基因mRNA表达呈剂量依赖性SB也可诱导U266细胞p16基因mRNA微弱表达5-Aza-CdR与SB联用可见明显的协同作用遥

2.4 Westernblotting结果

单用5-Aza-CdR可诱导U266细胞p16蛋白表达SB也可诱导U266细胞p16蛋白微弱表达两药联用可见明显的协同作用遥

3 讨论

DNA甲基化与组蛋白脱乙酰化对基因转录均有抑制作用近年研究发现两者对基因表达的调控作用有密切联系DNA甲基化可诱导局部组蛋白脱乙酰化使染色质乙酰化水平降低且甲基化的序列可募集甲基CpG结合蛋白MeCP2与组蛋白脱乙酰

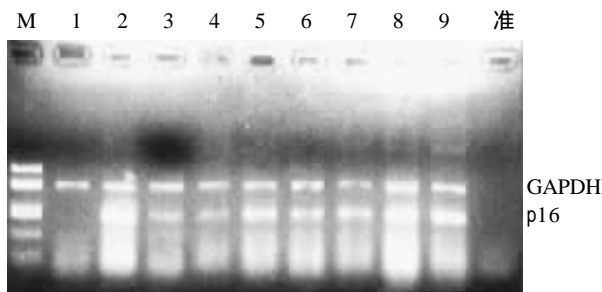


图2 5-Aza-CdR 和 / 或 SB 诱导 p16 基因 mRNA 的表达

Fig.2 mRNA expression of p16 gene induced by
5-Aza-CdR and/or SB

M:Marker;Lane 1:Negativecontrol;Lane 2Positivecontrol;
Lane 31.0 滤mol/LSB/GAPDH:0.15 滤mol;Lane 4-6:0.1,0.5
and1.0 滤mol/L5-Aza-CdR; Lane 7-9:Combinationof0.1,0.5,
1.0 滤mol/L5-Aza-CdRand1.0mmol/LSB; 准Blankcontrol

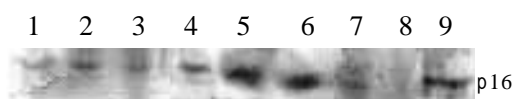


图3 5-Aza-CdR 和 / 或 SB 诱导 p16 蛋白的表达

Fig.3 The protein expression of p16 induced by
5-Aza-CdR and/or SB

Lane 1-3: 0.1, 0.5 and 1.0 μmol/L 5-Aza-CdR; Lane 4-6: Com-
bination of 0.1, 0.5, 1.0 μmol/L 5-Aza-CdR and 1.0 μmol/L SB; Lane
7: 1.0 μmol/L SB; Lane 8: Negative control; Lane 9 Positive control

化酶SB复合物SB对MeCP-HDA发挥对基因表达的抑制作用

抑癌基因高甲基化失活与多种肿瘤密切相关。那么失活的抑癌基因能否通过去甲基化制剂或 / 和 HDA 抑制剂的作用重新表达呢？本实验选用 p16 基因高甲基化失表达的 U266 细胞为研究对象。观察了 SB 与 5-Aza-CdR 对 U266 细胞生长和细胞周期的影响以及诱导 p16 基因重新表达的可能性。

HDA 抑制剂 SB 是丁酸类化合物，其衍生物在体外可抑制肿瘤细胞增殖及诱导分化。研究发现单用 SB 可诱导 U266 细胞重新表达 p16 基因，但不及去甲基化制剂 5-Aza-CdR 的作用强。当 SB 浓度增至 5 mmol/L 时，p16 表达并未见显著增高；低浓度去甲基化制剂 5-Aza-CdR 即可诱导 U266 细胞重新表达 p16 基因。两药联用则使 p16 基因表达显著高于各单独用药组，且其水平接近能正常表达 p16 基因的 KG1a 细胞的表达水平。HDA 抑制剂对去甲基化制剂的这种协同作用提示 HDA 可能也参与了甲基化抑制 p16 基因表达的过程。蛋白脱乙酰化可通过改变染色质结构参与基因表达的调控。HDA 抑制剂 TSA 不能上调高甲基化的 MLH1 和 IMP3 等基因的表达。

本研究以对 SB 的观察又一次证明通过改变组

蛋白乙酰化状态进而开放染色质结构可能不是高甲基化失表达基因重新表达的主要途径。SB 与 5-Aza-CdR 的协同作用提示 IDA 参与对 p16 基因的抑制可能是通过与高甲基化有关的途径。去甲基化制剂改变基因的高甲基化状态影响 MeCP-HDA 在启动子区的结合。HDA 抑制剂则作用于 MeCP-HDA 复合物，抑制其活性而恢复基因表达。5-Aza-CdR 可诱导 p16 基因表达，虽仅能诱导 p16 的弱表达，但它能加强 5-Aza-CdR 的作用，提示更有效恢复 p16 基因的表达需要两类药物的联合作用。p16 基因可有效调控细胞周期，抑制肿瘤生长与细胞周期素 D 和 cyclin D 竞争结合 CDK4，抑制后者的活性，阻止细胞从 G₁ 期进入 S 期，从而抑制细胞增殖。

本研究对各用药组细胞的生长情况及细胞周期的观察结果显示，单用 SB 可抑制细胞生长，但较 5-Aza-CdR 组作用弱。细胞周期无明显阻滞。单用 5-Aza-CdR 有生长抑制作用，即使在高浓度时也未见明显 G₁ 期阻滞。这与文献报道一致。¹⁰ 而联合使用 SB 后，抑制细胞生长的作用增强，发生 G₁ 期阻滞。这种阻滞与 p16 表达量有关。结果提示 U266 细胞中 p16 表达到一定水平时才能发挥其对细胞周期的调控作用。

参考文献院

- 1 Gonzalez-Mateos MV, Garcia-Sanz R, et al. Denovomethylation of tumor suppressor gene p16/INK4a is a frequent finding in multiple myeloma patients at diagnosis. *J Leukemia*, 2000, 14(1):183-7.
- 2 Tsuda H, Yamamoto K, Inoue T, et al. The role of p16-cyclin/CDK-pRb pathway in the tumorigenesis of endometrioid-type endometrial carcinoma. *J Cancer*, 2000, 82(3):675-82.
- 3 Jin M, Piao Z, Kim NG, et al. p16 is a major inactivation target in hepatocellular carcinoma. *Cancer*, 2000, 89(1):60-8.
- 4 Kim DH, Nelson H.H., Wiencke J.K., et al. p16/INK4a and histology-specific methylation of CpG islands by exposure to tobacco smoke in non-small cell lung cancer. *Cancer Res*, 2001, 61(8):3419-24.
- 5 Eden S, Hashimshony T, Keshet I, et al. DNA methylation models histone acetylation. *Nature*, 1998, 394(6696):842.
- 6 Nan X, Ng HH, Johnson CA, et al. Transcriptional repression by the methyl-CpG-binding protein MeCP2 involves a histone deacetylase complex. *Nature*, 1998, 393(6683):386-9.
- 7 Wade PA, Grogan A, Jones PL, et al. Mi-2 complex couples DNA methylation to chromatin remodelling and histone deacetylation. *Nat Gene*, 1999, 23:62-6.
- 8 Ng HH, Zhang Y, Hendrich B, et al. MBD2 is a transcriptional repressor belonging to the MeCP1 histone deacetylase complex. *Nat Gene*, 1999, 23(1):58-61.
- 9 Wong IH, Ng MH, Lee JC, et al. Transcriptional silencing of the p16 gene in human myeloma-derived cell lines by hypermethylation.

- BrJHaematol,1998,103(1):168-75.
- 咱0暂TaskaT,AsouH,MunkerR, et al. Methylationofthep16INK4A geneinmultiplemyeloma 咨暂BrJHaematol,1998,101(3):558-64.
- 咱1暂Koyama Y, Adachi M, Sekiya M, et al. Histone deacetylaseinhibitorssuppressIL-2-mediated geneexpressionprior to induction of apoptosis 咨暂Blood,2000,96(4):1490-5.
- 咱2暂Yang X,Ferguson AT,Nass SJ, et al. Transcriptional activation of estrogen receptor in human breast cancer cells by histone deacetylase inhibition 咨暂CancerRes,2000,60(24):6890-4.
- 咱3暂Munster PN,Troso-Sandoval T,Rosen N, et al. The histone deacetylase inhibitor suberoylanilide hydroxamic acid induces differentiation of human breast cancer cells 咨暂CancerRes,2001, 61(23): 8492-7.
- 咱4暂Jan JW,Ahn S.H,Park SH, et al. Apicidin, a histone deacetylase inhibitor, inhibits proliferation of tumor cells via induction of p21 WAF1/Cip1 and gelsolin 咨暂CancerRes,2000,60(21):6068-74.
- 咱5暂Butler LM,Agus DB,Scher HI, et al. Suberoylanilide hydroxamic acid, an inhibitor of histone deacetylase, suppresses the growth of prostate cancer cells in vitro and in vivo 咨暂CancerRes, 2000, 60(18):5165-70.
- 咱6暂Cameron EE,Bachman KE, Myohanen S, et al. Synergy of demethylation and histone deacetylase inhibition in there-expression of gene silencing in cancer 咨暂Nat Gene,1999,21(1):103-7.
- 咱7暂Yin H,Blanchard KL.DNA methylation represses the expression of the human erythropoietin gene by two different mechanisms 咨暂Blood,2000,95(1):111-9.
- 咱8暂de Fiore B,Palena A,Felsani A, et al. Cytosine methylation transforms an E2F site in the retinoblastoma gene promoter into a binding site for the general repressor methyl cytosine-binding protein 2 (MeCP2) 咨暂Nucleic Acids Res,1999,27(14):2852-9.
- 咱9暂Magdinier F,Wolffe AP. Selective association of the methyl-CpG binding protein MBD2 with the silent p14/p16 locus in human neoplasia 咨暂Proc Natl Acad Sci USA,2001,98(9):4990-5.
- 咱0暂Bender CM,Pao MM,Jones PA. Inhibition of DNA methylation by 5-aza-2'-deoxycytidine suppresses the growth of human tumor cell lines 咨暂CancerRes,1998,58(1):95-101.

消化道吻合器在食管胃超胸顶吻合中的作用

俞星火 河南省新乡市第二人民医院心胸外科 河南 新乡 453002

摘要目的 总结分析机械吻合用于食管胃胸内超胸顶吻合的临床意义与方法 使用管状吻合器对 98 例食管癌行食管胃超胸顶吻合结果 所有病例吻合均一次完成 无手术死亡 无吻合口漏及喉返神经胸导管损伤 被吻合口狭窄发生率为 2.04% 切除端癌残留率 1.02%(1/98) 结论 胸内食管胃超胸顶机械吻合术可扩大食管癌切除范围 似颈部吻合简便易行 安全可靠

关键词 食管癌 / 外科学 / 吻合器

中图分类号 R608 文献标识码 B 文章编号 1000-2588(2002)01-0984-02

Application of digestive tract anastomotic device in super-cupula pleurae anastomosis of the esophagus and stomach

YUXing-huo

Department of Cardio-thoracic Surgery, Second People's Hospital of Xinxiang, Xinxiang 453002, China

Abstract: Objective To evaluate the clinical value of mechanical anastomosis in super-cupula pleurae anastomosis (using mechanical anastomosis connecting esophagus and stomach above the diaphragm) of the esophagus and stomach within the thoracic cavity. Method A total of 98 cases of esophageal carcinoma were treated surgically by super-cupula pleurae anastomosis of the esophagus and stomach by anastomotic tube. Result All anastomoses were completed in single attempt without mortality among the patients, who did not show signs of fistula or injury to recurrent laryngeal nerve and ductus thoracicus. The incidence of anastomosis stricture was 2.04% (2/98), with tumor remnant rate of the resected end of 1.02% (1/98). Conclusion Mechanical esophagus and stomach anastomosis of super-cupula pleurae in the thoracic cavity can expand the scope eligible for resection in esophageal carcinoma, resembling neck anastomosis that is simple, quick, dependable and safe.

Key words: anastomosis; carcinoma, the esophagus; surgical resection